

Miriam Jańczak

numer albumu: 229761

3 stycznia 2018

prowadzący: dr hab. Paweł Zieliński

OBLICZENIA NAUKOWE

Lista 5

Opis problemu

Rozwiązanie układu równań liniowych:

$$\mathbf{A}\mathbf{x} = \mathbf{b}, \quad (1)$$

dla danej macierzy $\mathbf{A} \in \mathbb{R}^{n \times n}$ i wektora prawych stron $\mathbf{b} \in \mathbb{R}^n$, gdzie $n \geq 4$.

Macierz \mathbf{A} jest rzadką macierzą blokową o następującej strukturze:

$$\mathbf{A} = \begin{pmatrix} \mathbf{A}_1 & \mathbf{C}_1 & \mathbf{0} & \mathbf{0} & \mathbf{0} & \cdots & \mathbf{0} \\ \mathbf{B}_2 & \mathbf{A}_2 & \mathbf{C}_2 & \mathbf{0} & \mathbf{0} & \cdots & \mathbf{0} \\ \mathbf{0} & \mathbf{B}_3 & \mathbf{A}_3 & \mathbf{C}_3 & \mathbf{0} & \cdots & \mathbf{0} \\ \vdots & \ddots & \ddots & \ddots & \ddots & \ddots & \vdots \\ \mathbf{0} & \cdots & \mathbf{0} & \mathbf{B}_{v-2} & \mathbf{A}_{v-2} & \mathbf{C}_{v-2} & \mathbf{0} \\ \mathbf{0} & \cdots & \mathbf{0} & \mathbf{0} & \mathbf{B}_{v-1} & \mathbf{A}_{v-1} & \mathbf{C}_{v-1} \\ \mathbf{0} & \cdots & \mathbf{0} & \mathbf{0} & \mathbf{0} & \mathbf{B}_v & \mathbf{A}_v \end{pmatrix}, \quad (2)$$

$v = \frac{n}{\ell}$, zakładając że n jest podzielne przez ℓ , gdzie $\ell \geq 2$ jest rozmiarem wszystkich kwadratowych macierzy wewnętrznych (bloków) $\mathbf{A}_i, \mathbf{B}_i, \mathbf{C}_i, \mathbf{0}$.

Macierze $\mathbf{A}_i, \mathbf{B}_i, \mathbf{C}_i, \mathbf{0}$ są następującej postaci:

- (i) $\mathbf{A}_i \in \mathbb{R}^{\ell \times \ell}$, $i = 1, \dots, v$ – macierze gęste,
- (ii) $\mathbf{0} \in \mathbb{R}^{\ell \times \ell}$ – macierz zerowa,
- (iii) $\mathbf{B}_i \in \mathbb{R}^{\ell \times \ell}$, $i = 2, \dots, v$ – macierze z niezerowymi dwoma ostatnimi kolumnami:

$$\mathbf{B}_i = \begin{pmatrix} 0 & \cdots & 0 & b_{1\ell-1}^i & b_{1\ell}^i \\ 0 & \cdots & 0 & b_{2\ell-1}^i & b_{2\ell}^i \\ \vdots & & \vdots & \vdots & \vdots \\ 0 & \cdots & 0 & b_{\ell\ell-1}^i & b_{\ell\ell}^i \end{pmatrix}, \quad (3)$$

- (iv) $\mathbf{C}_i \in \mathbb{R}^{\ell \times \ell}$, $i = 1, \dots, v-1$ – macierze diagonalne:

$$\mathbf{C}_i = \begin{pmatrix} c_1^i & 0 & 0 & \cdots & 0 \\ 0 & c_2^i & 0 & \cdots & 0 \\ \vdots & \ddots & \ddots & \ddots & \vdots \\ 0 & \cdots & 0 & c_{\ell-1}^i & 0 \\ 0 & \cdots & 0 & 0 & c_{\ell}^i \end{pmatrix}. \quad (4)$$

W celu rozwiązania układu równań liniowych $\mathbf{Ax} = \mathbf{b}$ (1) należało zastosować dwie metody:

- (a) metodę eliminacji Gaussa w wersji bez wyboru elementu głównego oraz z częściowym wyborem elementu głównego,
- (b) obliczyć rozkład \mathbf{LU} macierzy \mathbf{A} w wersji bez wyboru elementu głównego oraz z częściowym wyborem elementu głównego, a następnie rozwiązać układ $\mathbf{LUx} = \mathbf{b}$.

Sposób przechowywania macierzy

Macierz \mathbf{A} dana w zadaniu posiada tylko $(\ell+3)n-3\ell$ elementów nie będących zerami – $v \cdot \ell^2$ w blokach \mathbf{A}_i , $(v-1) \cdot 2\ell$ w blokach \mathbf{B}_i i $(v-1) \cdot \ell$ w blokach \mathbf{C}_i , co świadczy o tym, że \mathbf{A} jest macierzą rzadką. Przechowywanie macierzy \mathbf{A} w standardowy sposób (tablica dwuwymiarowa $n \times n$) byłoby więc dość nieefektywne. Aby temu zapobiec użyta została specjalna struktura do przechowywania macierzy rzadkich `SparseMatrixCSC` z języka `Julia`, w której macierze przechowywane są w skompresowanym porządku kolumnowym. W celu optymalizacji czasowej dostępu do elementów tak przechowywanej macierzy pod kątem zaimplementowanych algorytmów używano macierzy transponowanej, co jednak nie miało wpływu na ogólną ich postać, dlatego zostanie pominięte w rozważaniach.

Opis algorytmów

Metoda eliminacji Gaussa jest algorytmem mającym szerokie zastosowanie w rozwiązywaniu podstawowych problemów algebry liniowej takich jak rozwiązywanie układów równań liniowych, obliczanie rzędu macierzy, jej wyznacznika, macierzy odwrotnej czy rozkładu \mathbf{LU} macierzy. Wykorzystuje ona elementarne operacje na macierzy takie jak mnożenie wiersza przez skalar czy odejmowanie od siebie dwóch wierszy.

Rozwiązywanie układów równań metodą eliminacji Gaussa

Opis działania

Zasadą działania *metody eliminacji Gaussa* przy rozwiązywaniu układów równań jest stopniowa eliminacja niewiadomych przez odpowiednie kombinowanie równań tak, aby zastąpić dany układ $\mathbf{Ax} = \mathbf{b}$ równoważnym mu układem z macierzą trójkątną górną.

W pierwszym kroku zostaje wyeliminowana niewiadoma x_1 z $n-1$ równań poprzez odejmowanie dla $i = 2, \dots, n$ odpowiedniej krotności pierwszego równania od i -tego równania, aby wyzerować w nim współczynnik przy x_1 . Takie postępowanie powtarzane jest dla kolejnych niewiadomych x_k , gdzie dla $i = k+1, \dots, n$ od i -tego równania odejmowana jest odpowiednia krotność k -tego równania.

Aby możliwe było wykonanie powyższej procedury każdy z elementów diagonalnych w macierzy musi być różny od zera. W momencie kiedy tak nie jest potrzebna jest modyfikacja algorytmu, a mianowicie zamiana wiersza z zerowym elementem na diagonalu z innym który w tym miejscu nie posiada zera, w praktyce w i -tym kroku algorytmu wyszukuje się w i -tej kolumnie element (zwany *elementem głównym*) o największej co do modułu wartości i wiersz z takim elementem zamienia się miejscem z i -tym wierszem. Taka zamiana zawsze jest możliwa, gdyż w przeciwnym przypadku macierz byłaby osobliwa.

Ostatnim krokiem jest rozwiązanie powstałego układu z macierzą trójkątną górną za pomocą *algorytmu podstawiania wstecz*. Polega on na obliczeniu:

$$x_i = \frac{b_i - \sum_{j=i+1}^n a_{ij}}{a_{ii}}$$

dla wierszy i od n do 1.

Metoda eliminacji Gaussa ma złożoność $O(n^3)$, a algorytm podstawiania wstecz $O(n^2)$. Zatem, aby rozwiązać układ równań, trzeba wykonać łącznie $O(n^3)$ operacji.

Zastosowane modyfikacje

Jak już zostało wspomniane, macierz \mathbf{A} jest macierzą rzadką ponadto posiada ona specyficzną blokowo-trójdiodagonalną postać (2) co umożliwia zredukowanie w znacznym stopniu liczby wykonywanych operacji w stosunku do metody eliminacji Gaussa stosowanej dla macierzy gęstych.

Zauważyć można, że postać macierzy \mathbf{A} zapewnia, że wiele elementów znajdujących się pod diagonalą będzie zerami i nie będzie konieczne ich zerowanie.

Rozpatrując pierwszych $\ell - 2$ kolumn widać że elementy niezerowe mogą znajdować się jedynie w bloku \mathbf{A}_1 , a więc tylko w ℓ pierwszych rzędach. Idąc dalej, dla kolejnych ℓ kolumn wszystkie niezerowe elementy będą znajdować się najniżej w bloku \mathbf{B}_2 albo w bloku \mathbf{A}_3 – czyli 2ℓ pierwszych rzędach, a dla jeszcze następnych ℓ kolumn w blokach \mathbf{B}_3 i \mathbf{A}_4 – czyli 3ℓ pierwszych rzędach. Biorąc pod uwagę następne kolumny schemat będzie się powtarzał dając możliwość wyprowadzenia ogólnego wzoru na indeks ostatniego niezerowego elementu $e_{non\ 0}$ w danej kolumnie k :

$$e_{non\ 0}(k) = \min \left\{ \ell + \ell \cdot \left\lfloor \frac{k+1}{\ell} \right\rfloor, n \right\} \quad (5)$$

Również, poza ostatnimi ℓ wierszami, w każdym wierszu ostatnim niezerowym elementem jest element leżący na diagonalu bloku \mathbf{C}_i . Można zauważyć, że owe elementy znajdują się zawsze w odległości ℓ od elementów na diagonalu macierzy \mathbf{A} . Natomiast dla ostatnich ℓ rzędów najbardziej wysunięte na prawo elementy niezerowe leżą w n -tej kolumnie. Powyższa obserwacja pozwala na wyprowadzenie wzoru tym razem na indeks kolumny k_{last} , w której znajduje się ostatni niezerowy element w rzędzie r :

$$k_{last}(r) = \min\{r + \ell, n\}. \quad (6)$$

Oczywiście, jeżeli w danym kroku metody eliminacji Gaussa r -ty rząd odejmowany jest od rzędów pod nim, nie jest konieczne modyfikowanie elementów w kolumnach o większych od $k_{last}(r)$ indeksach.

Metoda eliminacji Gaussa prowadzi do układu z macierzą trójkątną górną, który rozwiązywany jest za pomocą algorytmu podstawiania wstecz, który w tym przypadku także poddawany jest drobnym modyfikacjom w celu ograniczenia liczby wykonywanych operacji.

Warto zauważyć tutaj, że w wyniku eliminacji Gaussa poza elementami pod diagonalą bloków \mathbf{C}_i w macierzy \mathbf{A} nie powstały żadne nowe elementy niezerowe. Wystarczy zatem dla każdego wiersza sumować elementy tylko do pewnej kolumny określonej wyprowadzonym wcześniej wzorem (6).

Metodę eliminacji Gaussa z opisanymi modyfikacjami przedstawia Algorytm 1.

Zakładając, że ℓ jest stałą, złożoność obliczeniowa zmodyfikowanej metody eliminacji Gaussa, wynosi $O(n)$. Zewnętrzna pętla eliminacji Gaussa wykonuje $n - 1$ przebiegów, środkowa maksymalnie 2ℓ , natomiast wewnętrzna maksymalnie ℓ . Z kolei w algorytmie podstawiania wstecz zewnętrzna pętla wykonuje n przebiegów, natomiast wewnętrzna maksymalnie ℓ . Jest to znacząca poprawa względem standardowej metody eliminacji Gaussa.

Algorytm 1: Eliminacja Gaussa

Dane wejściowe:

- \mathbf{A} – dana w zadaniu macierz postaci (2),
- \mathbf{b} – wektor prawych stron,
- n – rozmiar macierzy \mathbf{A} ,
- ℓ – rozmiar bloku macierzy \mathbf{A} .

Dane wyjściowe:

- \mathbf{x} – wektor zawierający rozwiązania układu $\mathbf{Ax} = \mathbf{b}$.

```

function eliminacja_gaussa( $\mathbf{A}$ ,  $\mathbf{b}$ ,  $n$ ,  $\ell$ )
  for  $k \leftarrow 1$  to  $n - 1$  do
     $e_{non\ 0} \leftarrow \min\left(\ell + \ell \cdot \left\lfloor \frac{k+1}{\ell} \right\rfloor, n\right)$ 
     $k_{last} \leftarrow \min(k + \ell, n)$ 
    for  $i \leftarrow k + 1$  to  $e_{non\ 0}$  do
      if  $\mathbf{A}[k][k] = 0$  then
        error współczynnik na przekątnej równy zero
       $z \leftarrow \mathbf{A}[i][k] / \mathbf{A}[k][k]$ 
       $\mathbf{A}[i][k] \leftarrow 0$ 
      for  $j \leftarrow k + 1$  to  $k_{last}$  do
         $\mathbf{A}[i][j] \leftarrow \mathbf{A}[i][j] - z \cdot \mathbf{A}[k][j]$ 
       $\mathbf{b}[i] \leftarrow \mathbf{b}[i] - z \cdot \mathbf{b}[k]$ 
    for  $i \leftarrow n$  downto  $1$  do
       $k_{last} \leftarrow \min(i + \ell, n)$ 
      for  $j \leftarrow k + 1$  to  $k_{last}$  do
         $suma \leftarrow suma + \mathbf{x}[i] \cdot \mathbf{A}[i][j]$ 
       $\mathbf{x}[i] \leftarrow (\mathbf{b}[i] - suma) / \mathbf{A}[i][i]$ 
  return  $\mathbf{x}$ 

```

Powyżej został rozpatrzony wariant metody eliminacji Gaussa bez wyboru elementu głównego, czasami jednak lepiej sprawdza się algorytm z tzw. częściowym wyborem (umożliwia rozwiązanie układu kiedy na diagonalu macierzy pojawiają się elementy zerowe), w tym wypadku oznacza to wybranie wiersza, dla którego element w eliminowanej kolumnie i ma największą co do modułu wartość i zamienienie go z i -tym wierszem (po zamianie eliminacja jest kontynuowana w zwykły sposób).

W praktyce taka zamiana wierszy bywa kosztowna, szczególnie kiedy operacje wykonywane są na dużych macierzach, dlatego przy metodzie eliminacji Gaussa z wyborem elementu głównego pierwszą wprowadzoną zmianą jest stworzenie wektora permutacji wierszy (p), w którym pamiętane jest na jakiej aktualnie pozycji w macierzy znajduje się dany wiersz. Wpływ tego zabiegu na algorytm jest taki, że zamiast odwołania do konkretnego wiersza zostaje wykonane odwołanie do jego pozycji w wektorze permutacji.

Wybór elementu głównego sprawia również, że niemożliwe jest zachowanie wyliczonych wartości k_{last} , gdyż odejmowanie wierszy w innej kolejności, może doprowadzić do powstania nowych

elementów niezerowych. Konieczne jest zatem nowe, szersze oszacowanie k_{last} . Zauważyć można, że w czasie eliminowania współczynników z $\ell - 2$ pierwszych kolumn najdalszy niezerowy element można stworzyć w kolumnie z indeksem 2ℓ – poprzez odejmowanie ℓ -tego wiersza, który w tej kolumnie posiada niezerowy element. Podczas eliminowania współczynników z kolejnych ℓ kolumn najdalszy niezerowy element można stworzyć w kolumnie z indeksem 3ℓ , analogicznie poprzez odejmowanie 2ℓ -tego wiersza, który w tej kolumnie posiada niezerowy element. Stosowanie powyższego rozumowania dla dalszych kolumn prowadzi do uzyskania nowego wzoru na k_{last} , mianowicie:

$$k_{last}(k) = \min \left\{ 2\ell + \ell \cdot \left\lfloor \frac{k+1}{\ell} \right\rfloor, n \right\}. \quad (7)$$

Podobne ograniczenie zastosowane jest również podczas wykonywania algorytmu podstawiania wstecz – nie powstają żadne nowe elementy niezerowe poza tymi już uwzględnionymi, jedyną zmianą jest uwzględnienie permutacji wiersza, co jednak w zasadzie nie wpływa na szacowaną wartość.

Metodę eliminacji Gaussa z częściowym wyborem elementu głównego przedstawia Algorytm 2

Złożoność obliczeniowa zmodyfikowanej metody eliminacji Gaussa z częściowym wyborem elementu głównego jest gorsza niż bez wyboru elementu głównego z powodu zastosowanych szerszych ograniczeń na k_{last} , jednak przy założeniu, że ℓ jest stałą nie wpływa to na ogólną złożoność $O(n)$.

Rozkład LU

Opis działania

Układy równań liniowych z niektórymi typami macierzy da się rozwiązać w sposób stosunkowo łatwy, takimi macierzami są np. macierze trójkątne – górna i dolna. Idea rozkładu **LU** macierzy **A** jest taka, żeby przedstawić ją za pomocą iloczynu

$$\mathbf{A} = \mathbf{LU}, \quad (8)$$

macierzy trójkątnej dolnej **L** z elementami na przekątnej równymi 1 i macierzy trójkątnej górnej **U**, za pomocą których układ równań da się rozwiązać w stosunkowo łatwy sposób.

Taki rozkład można uzyskać za pomocą znanej już metody eliminacji Gaussa. Metoda ta przekształca macierz **A** do macierzy trójkątnej górnej, która stanie się macierzą **U**. Macierz **L** zostaje stworzona poprzez zapamiętanie mnożników użytych do eliminacji kolejnych współczynników macierzy **A** i tak mnożnik użyty do wyzerowania elementu a_{ij} zapisujemy w i -tym wierszu i j -tej kolumnie macierzy **L**. Cały rozkład **LU** można przeprowadzić bezpośrednio na macierzy **A** oszczędzając w ten sposób pamięć.

Złożoność obliczeniowa wyznaczenia rozkładu **LU** to $O(n^3)$, umożliwia on jednak stosunkowo szybkie rozwiązywanie wielu układów równań w których macierz jest taka sama, a zmienia się wektor prawych stron. W tym wypadku eliminacja Gaussa o dużej złożoności wykonywana jest tylko raz, a rozwiązywanie układów dzieli się na dwa etapy:

$$\begin{cases} \mathbf{Lz} = \mathbf{b} \\ \mathbf{Ux} = \mathbf{z}, \end{cases} \quad (9)$$

co dzięki postaci macierzy **L** i **U** (macierze trójkątne) można wykonać w $O(n^2)$ operacji.

Algorytm 2: Eliminacja Gaussa z częściowym wyborem elementu głównego

Dane wejściowe:

- \mathbf{A} – dana w zadaniu macierz postaci (2),
- \mathbf{b} – wektor prawych stron.
- n – rozmiar macierzy \mathbf{A} ,
- ℓ – rozmiar bloku macierzy \mathbf{A} .

Dane wyjściowe:

- \mathbf{x} — wektor zawierający rozwiązania układu $\mathbf{Ax} = \mathbf{b}$.

function eliminacja_gaussa_z_elementem_głównym(\mathbf{A} , \mathbf{b} , n , ℓ)

 $\mathbf{p} \leftarrow \{i : i \in \{1, \dots, n\}\}$
for $k \leftarrow 1$ **to** $n - 1$ **do**
 $e_{non\ 0} \leftarrow \min\left(\ell + \ell \cdot \left\lfloor \frac{k+1}{\ell} \right\rfloor, n\right)$
 $k_{last} \leftarrow \min\left(2\ell + \ell \cdot \left\lfloor \frac{k+1}{\ell} \right\rfloor, n\right)$
for $i \leftarrow k + 1$ **to** $e_{non\ 0}$ **do**
 $r_{max} \leftarrow m$ takie, że: $\mathbf{A}[\mathbf{p}[m]][k] = \max(|\mathbf{A}[\mathbf{p}[q]][k]| : q \in \{i, \dots, e_{non\ 0}\})$
if $\mathbf{p}[r_{max}] = 0$ **then**
error macierz osobliwa

swap ($\mathbf{p}[k]$, $\mathbf{p}[r_{max}]$)

 $z \leftarrow \mathbf{A}[\mathbf{p}[i]][k] / \mathbf{A}[\mathbf{p}[k]][k]$
 $\mathbf{A}[\mathbf{p}[i]][k] \leftarrow 0$
for $j \leftarrow k + 1$ **to** k_{last} **do**
 $\mathbf{A}[\mathbf{p}[i]][j] \leftarrow \mathbf{A}[\mathbf{p}[i]][j] - z \cdot \mathbf{A}[\mathbf{p}[k]][j]$
 $\mathbf{b}[\mathbf{p}[i]] \leftarrow \mathbf{b}[\mathbf{p}[i]] - z \cdot \mathbf{b}[\mathbf{p}[k]]$
for $i \leftarrow n$ **downto** 1 **do**
 $k_{last} \leftarrow \min\left(2\ell + \ell \cdot \left\lfloor \frac{\mathbf{p}[i]+1}{\ell} \right\rfloor, n\right)$
for $j \leftarrow k + 1$ **to** k_{last} **do**
 $\text{suma} \leftarrow \text{suma} + \mathbf{x}[j] \cdot \mathbf{A}[\mathbf{p}[i]][j]$
 $\mathbf{x}[i] \leftarrow (\mathbf{b}[\mathbf{p}[i]] - \text{suma}) / \mathbf{A}[\mathbf{p}[i]][i]$
return \mathbf{x}

Zastosowane modyfikacje

Rozkład \mathbf{LU} dla macierzy \mathbf{A} w postaci (2) jest wyznaczany w sposób bardzo podobny do metody eliminacji Gaussa (bez wyboru elementu głównego bądź z częściowym jego wyborem). Jednak zamiast zerowania elementów a_{ik} podstawiane są mnożniki $z = a_{ik}/a_{kk}$, które stanowią elementy macierzy \mathbf{L} .

Złożoność obliczeniowa wyznaczenia takiego rozkładu jest w oczywisty sposób taka sama, co złożoność dla metody eliminacji Gaussa bez wyboru elementu głównego (Algorytm 1) czy z częściowym jego wyborem (Algorytm 2), a więc, przy założeniu, że ℓ jest stałą, wynosi $O(n)$.

W celu rozwiązania układu równań liniowych $\mathbf{Ax} = \mathbf{b}$, gdzie $\mathbf{A} = \mathbf{LU}$ czyli $\mathbf{LUx} = \mathbf{b}$ należy podzielić obliczenia na dwa etapy (9). Drugi etap obliczeń czyli rozwiązanie układu $\mathbf{Ux} = \mathbf{z}$ nie różni się w zasadzie niczym od algorytmu podstawiania wstecz, nie ulega także zmianie wartość k_{last} , która wskazuje na to do której kolumny w danym wierszu należy sumować. Aby rozwiązać układ $\mathbf{Lz} = \mathbf{b}$ należy zastosować algorytm podstawiania w przód, który jest podobny do algorytmu podstawiania wstecz, jednak zaczyna się od pierwszego wiersza i sumowane są elementy z kolumn coraz dalszych, a nie coraz wcześniejszych. Algorytm obliczania $\mathbf{Lz} = \mathbf{b}$

został oczywiście odpowiednio zoptymalizowany ze względu na specyficzną postać macierzy. Warto zauważyć że elementy zerowe w macierzy \mathbf{L} są na tych samych indeksach co te w macierzy \mathbf{A} . Niepotrzebne jest więc rozpoczynanie sumowania od pierwszej kolumny dla każdego wiersza. W zasadzie takie sumowanie ma miejsce tylko dla ℓ pierwszych wierszy. Dla kolejnych ℓ wystarczy sumować od kolumny $\ell - 1$, a dla jeszcze dalszych ℓ kolumny $2\ell - 1$, itd. Tę zależność można przedstawić za pomocą następującego ogólnego wzoru:

$$k_{from}(r) = \max \left\{ \ell \cdot \left\lfloor \frac{r-1}{\ell} \right\rfloor - 1, 1 \right\}. \quad (10)$$

Metodę rozwiązywania układu równań liniowych za pomocą rozkładu \mathbf{LU} macierzy \mathbf{A} prezentuje Algorytm 3. Metoda wykorzystująca rozkład \mathbf{LU} za pomocą eliminacji Gaussa z częściowym wyborem elementu głównego jest niemalże identyczny z tą tylko różnicą że zamiast odwołania się do konkretnego wiersza następuje odwołanie do jego pozycji w wektorze permutacji.

Złożoność obliczeniowa rozwiązywania układu równań liniowych z rozkładu \mathbf{LU} wynosi $O(n)$, ponieważ rozwiązanie $\mathbf{U}\mathbf{x} = \mathbf{z}$ ma taką samą złożoność jak w metodzie Gaussa, a rozwiązanie $\mathbf{L}\mathbf{z} = \mathbf{b}$ w oczywisty sposób ma także zbliżoną do tej złożoność.

Algorytm 3: Rozwiązywanie układu równań przy użyciu rozkładu \mathbf{LU} .

Dane wejściowe:

- \mathbf{A} – macierz (2) po przekształceniu do postaci, gdzie nad przekątną znajdują się elementy macierzy \mathbf{U} , a pod przekątną \mathbf{L} ,
- \mathbf{b} – wektor prawych stron.
- n – rozmiar macierzy \mathbf{A} ,
- ℓ – rozmiar bloku macierzy \mathbf{A} .

Dane wyjściowe:

- \mathbf{x} – wektor zawierający rozwiązania układu $\mathbf{Ax} = \mathbf{b}$.

function rozwiązanie_LU(\mathbf{A} , \mathbf{b} , n , ℓ)

```

for i ← 1 to n do
    suma ← 0
     $k_{from} \leftarrow \min \left( \ell \cdot \left\lfloor \frac{i-1}{\ell} \right\rfloor, n \right)$ 
    for j ←  $k_{from}$  to i - 1 do
        suma ← suma + z[j] · A[i][j]
    z[i] = b[i] - suma
for i ← n downto 1 do
    suma ← 0
     $k_{last} \leftarrow \min(i + \ell, n)$ 
    for j ← i + 1 to  $k_{last}$  do
        suma ← suma + x[j] · A[i][j]
    x[i] ← (z[i] - suma) / A[i][i]
return x
```

Wyniki

Zestawienie czasu rozwiązywania układów równań oraz zużytej pamięci, dla coraz większych macierzy \mathbf{A} standardową metodą eliminacji Gaussa jak również dwoma modyfikacjami – bez wyboru elementu głównego i jego częściowym wyborem przedstawia Tabela 1, dla metody bez modyfikacji obliczenia przerwano po rozwiązaniu układu z 6000 niewiadomych, ponieważ zbyt

duże zużycie pamięci uniemożliwiało dalszą pracę komputera. We wszystkich przedstawianych wynikach przyjęto rozmiar bloku $\ell = 4$.

n	$x = A \setminus b$		bez wyboru		z wyborem	
	Czas [s]	Pamięć	Czas [s]	Pamięć	Czas [s]	Pamięć
16	0.001 094	2.625 KiB	0.000 048	3.391 KiB	0.000 084	3.625 KiB
100	0.027 763	80.047 KiB	0.000 179	22.500 KiB	0.000 407	23.406 KiB
2000	0.343 397	30.549 MiB	0.014 192	453.000 KiB	0.014 862	468.781 KiB
6000	6.731 499	274.750 MiB	0.128 058	1.327 MiB	0.130 757	1.373 MiB
10000	—	—	0.381 457	2.212 MiB	0.384 041	2.289 MiB
50000	—	—	17.542 994	5.722 MiB	20.042 335	6.104 MiB

Tabela 1: Zestawienie czasu wykonywania i zużytej pamięci dla metody eliminacji Gaussa bez modyfikacji i metod z modyfikacjami w wariancie bez wyboru elementu głównego i z jego częściowym wyborem

Dla wspomnianych wcześniej metod zbadano również błędy, kiedy wektor prawych stron był wyliczany, przedstawia je Tabela 2. Widać tutaj, że błędy wynikające ze stosowania metody eliminacji Gaussa z częściowym wyborem elementu głównego są mniejsze od tych powstałych przy rozwiązywaniu układu równań metodą bez wyboru elementu głównego o co najmniej rząd wielkości. Taka prawidłowość zachodzi również przy rozwiązywaniu układu równań za pomocą rozkładu LU dlatego przedstawienie danych zostanie tutaj pominięte.

n	$x = A \setminus b$	bez wyboru	z wyborem
16	1.942 890 293 094 024 $\cdot 10^{-16}$	3.107 895 799 689 565 $\cdot 10^{-14}$	3.433 175 098 891 678 $\cdot 10^{-16}$
100	2.852 214 593 099 839 7 $\cdot 10^{-16}$	2.949 121 011 348 651 $\cdot 10^{-15}$	2.610 795 139 258 403 3 $\cdot 10^{-16}$
2000	2.712 899 874 060 809 5 $\cdot 10^{-16}$	2.925 611 466 241 920 2 $\cdot 10^{-15}$	3.013 698 304 233 371 6 $\cdot 10^{-16}$
6000	2.902 477 749 040 071 5 $\cdot 10^{-16}$	1.965 051 776 404 19 $\cdot 10^{-14}$	3.000 171 026 473 022 $\cdot 10^{-16}$
10000	—	4.459 026 580 959 929 $\cdot 10^{-14}$	2.982 328 527 652 59 $\cdot 10^{-16}$
50000	—	4.503 491 569 922 606 $\cdot 10^{-14}$	3.005 195 520 712 902 $\cdot 10^{-16}$

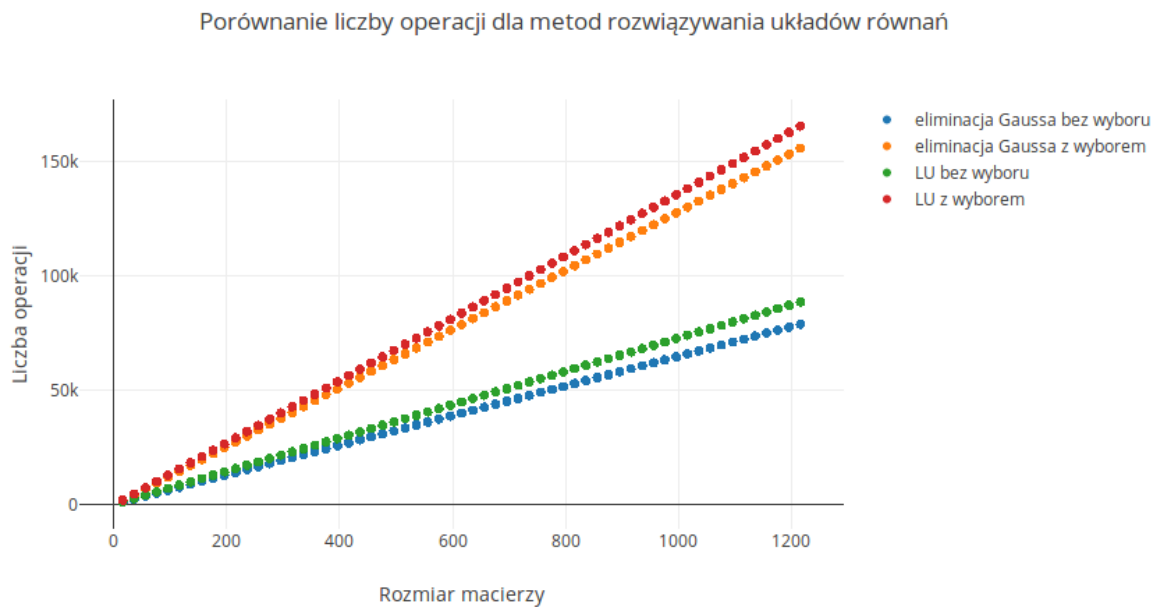
Tabela 2: Zestawienie błędów względnych dla metody eliminacji Gaussa bez modyfikacji i metod z modyfikacjami w wariancie bez wyboru elementu głównego i z jego częściowym wyborem

Podobnie jak dla metody eliminacji Gaussa czas rozwiązywania układu oraz zużyta pamięć zbadano dla rozwiązywania z układem LU , z tym że osobno policzono czas i zużyta pamięć samego rozkładu, a następnie rozwiązania z użyciem tego rozkładu. W ten sposób można zaobserwować, że samo rozwiązanie z posiadanego rozkładu LU jest ułamkiem nakładu czasu i pamięci potrzebnej do stworzenia rozkładu. Wyniki prezentuje Tabela 3

n	rozkład bez wyboru		rozwiązanie bez wyboru		rozkład z wyborem		rozwiązanie z wyborem	
	Czas [s]	Pamięć	Czas [s]	Pamięć	Czas [s]	Pamięć	Czas [s]	Pamięć
16	0.000 035	3.188 KiB	0.000 006	416 b	0.000 073	3.422 KiB	0.000 012	416 b
100	0.000 162	21.625 KiB	0.000 028	1.750 KiB	0.000 339	22.531 KiB	0.000 043	1.750 KiB
2000	0.011 805	437.250 KiB	0.000 502	31.500 KiB	0.014 052	453.031 KiB	0.000 609	31.500 KiB
6000	0.118 416	1.281 MiB	0.001 244	93.906 KiB	0.129 308	1.327 MiB	0.002 653	93.906 KiB
10000	0.376 795	2.136 MiB	0.002 829	156.406 KiB	0.381 735	2.212 MiB	0.003 327	156.406 KiB
50000	17.361 661	6.121 MiB	0.055 568	1.138 MiB	18.941 635	6.399 MiB	0.074 308	1.216 MiB

Tabela 3: Zestawienie czasu wykonywania i zużytej pamięci dla rozkładów LU w wariancie bez wyboru elementu głównego i z jego częściowym wyborem

W celu potwierdzenia, że złożoność zmodyfikowanych metod jest rzeczywiście liniowa policzono liczbę operacji dla każdej z nich dla coraz większych macierzy, wyniki prezentuje Rysunek 1.



Rysunek 1: Liczba operacji wykonywanych w czasie rozwiązywania układu równań poszczególnymi metodami

Wnioski

Przedstawione wyniki pokazują, że rzeczywiste złożoność obliczeniowa zaimplementowanych metod jest liniowa. Widać także, że wolniejsza i zużywająca większą ilość pamięci metoda eliminacji z częściowym wyborem elementu głównego zarówno w metodzie eliminacji Gaussa jak i w rozkładzie LU daje dokładniejsze wyniki, kiedy nieznacznie zostanie zaburzony wektor prawych stron. Warto pamiętać, że czasem jej użycie jest konieczne do rozwiązania układu (elementy zerowe na diagonalu). Rozwiązywanie pojedynczych układów równań liniowych za pomocą rozkładu LU jest sumarycznie gorsze od zastosowania metody eliminacji Gaussa, jednak kiedy dla jednej macierzy pojawia się więcej różnych wektorów prawych stron ta metoda staje się bardzo opłacalna, ponieważ sam rozkład macierzy jest liczony tylko raz, a rozwiązanie układu z dwóch macierzy trójkątnych jest szybsze i łatwiejsze niż przeprowadzenie eliminacji Gaussa od początku. Przeprowadzone eksperymenty pokazują również, że optymalizacja pod kątem specyficznej budowy macierzy A daje konkretne rezultaty. Dzięki wprowadzonym modyfikacjom złożoność zarówno obliczeniowa jak i pamięciowa są na tyle małe że pozwalają na rozwiązywanie układów równań z bardzo dużą liczbą niewiadomych, co przy wykorzystaniu standardowych metod byłoby niemożliwe. Widać zatem jak wiele można zyskać optymalizując różne algorytmy pod konkretne przypadki użycia.